

京都大学工学部 学生員 小林 修二
 京都大学工学部 正員 白石 成人
 京都大学工学部 正員 松本 勝

1. まえがき

吊橋実橋の耐風安定性を二次元風洞実験の結果から推定しようとする場合、曲げ及び横れの実橋におけるモードないかに、二次元風洞実験で再現あるかといふことが問題となる。従来、二次元実験では同次モードの組み合せ、特に最低次モードの組み合せによる実験が主に行なわれてきただようである。しかしながら、現実には旧Jacoma橋に見られるように、異なる次数のモードが並存したという観測例もある。本研究ではこのよろ点を重視し、振動数比の耐風安定性に及ぼす影響を、二、三の実験結果を基に推定しようとするものである。併せて flow visualization の結果から基本断面におけるフランジャー発生機構の要因を推定しようとするものである。

2. Jacoma Bridge 断面による二次元風洞実験

従来の2自由度部分模型実験においては振動数比(f_g/f_q)を同次モード対応の仮定の基に、主として低次モードを対象として設定すること

が多いようである。(かしながら、F.B.

(1) Ferguson & Hartson の報告に見られるように、Jacoma落橋時には19%の風速下でほぼ対称5次の曲げ振動を起こしていたのが、突如逆対称3次の挾み振動に変化し、その後、落橋の惨事に至ったことが述べられている。このようないくつかの実験結果を見る限り、必ずしも同次モードの組み合わせによる二次元風洞実験だけでは、実橋の空力挙動を再現、推定するに十分とは言えないと言えらる。このようないくつかの観点から、本研究においては、以下のように振動数比を設定し、二次元風洞実験を行なった。

1.34(曲げ逆対称1次、挾み逆対称1次) 0.80(曲げ逆対称2次, ") 0.44(曲げ対称5次, ")

0.65(曲げ対称3次, ") 又、実験用模型は実橋の42.5分の

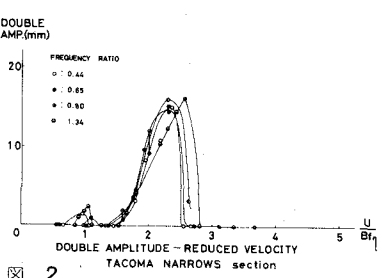
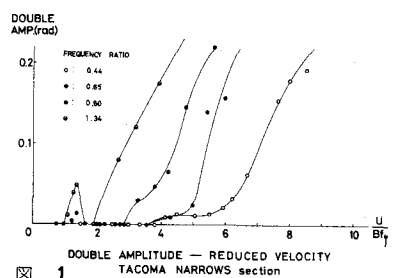
1模型であり、その諸元は表1に示すとおりである。

i) 実験結果

図2に見られるようにいわゆる振動数比においても、曲げの渦励振動現象が見られる。巻振風速がほぼ等しいのは、渦励振動の巻生機構からして妥当と考えられる。ここで興味深いのは振動数比の減少に伴い、曲げ応答の最大振幅が低下する傾向が見られることがある。これは実測値における、曲げ対称3次と挾み逆対称1次の振動数比0.39に近づけば、きっとこの傾向は強くなるものと推定される。一方、図1における挾み振動に注目すれば、もっと顕著な相違がある。A. 振動数比の減少に伴い挾みの渦励振動が消滅すること B. フランジャー限界風速が著しく異なること C. 巷振後のフランジャー成長形状が異なること A.の点については、曲げの渦励振動の場合と同一の傾向である。B.C.の点について、原因としての相違及び流体力学上の振動系の変化(中村・吉村らの指摘にあるように振動数比1以下

MODEL	$m \cdot sec^2/m$	I (kg.sec 2)	f_g (1/sec)	f_q (1/sec)	f_g/f_q	S_g (0.03 rad)	S_q (1 cm)
TALOMA	0.238	0.0233	5.64	4.22	1.34	0.0036	0.0105
TACOMA	-----	-----	2.80	3.51	0.80	0.0081	0.0141
TACOMA	-----	-----	2.14	3.31	0.65	0.0102	0.0114
TACOMA	0.410	0.0200	1.42	3.23	0.44	0.0292	0.0145

表 1



の特殊な場合、まはや本質的な自由度振動系とは見なし難いと考えらる。この点に関して F.B.Farguharson らの行った空力弹性模型を用いた実験で、曲げと挾みの並存する風速領域の存在が述べられており、もし挾みを拘束したならば、より高次の曲げの渦励振動が発現するという報告がある。実橋の耐風安定性を特にモード間の干渉という観点から考慮する上で、實に興味深い研究結果と思われる。

	ねじれ フラッター 減衰過程	ねじれ フラッター 発散過程
$\dot{\varphi} = 0$		
$\dot{\varphi} > 0$		

図 3

3. 水槽模型実験

これまでに、静止断面に対する *flow visualization* の研究成果は数多く報告されており、又、振動翼回りの流れの様子、圧力分布の測定結果も文献(3)を見られる。しかしながら、橋架断面形状の複雑なことにより、実際の橋架断面に対してそのような試みはなされていないようと思われる。本研究は、振動物体回りの流れの様子から、圧力分布を推定し、それにより橋架断面のアラッタ-巻生機構の1因を推定しようという試みのも

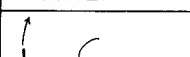
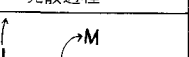
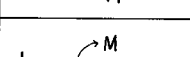
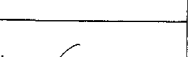
	ねじれ フラッター 減衰過程	ねじれ フラッター 発散過程
$\dot{\varphi} = 0$		
$\dot{\varphi} > 0$		

図 4

とに実験を行なったものである。解析の便及び実断面への応用の意味を含めて、本実験では 10H, 10T 断面を対象とした。従来フリッター振動の巻生には前縁からの剥離渦が大きな要因を占めると言われてきた。特に前縁剥離に注目するため後縁を取り扱い、10T 断面を主として説明を加える。図 3 にそれを水槽フラッター減衰過程、巻散過程に対応する剥離バブルの拡がりを模式図(2)示している。図 4 にはそれに対応する非定常モーメントの作用方向、物体の振動方向を図示する。両図において巻散過程は換算風速約 5.0、倍振幅 0.13 rad. 1/s、減衰過程は換算風速約 6.6、倍振幅 0.13 rad/s に対応している。これらより、両過程で剥離バブルの拡がりが、ちょうど正反対のモーメントを生ずるようになると判別できよう。剥離バブル中の圧力分布測定は行っておらず、又、剥離バブル自体の構造を明らかにされていないが、剥離バブルが小さな渦の集合であり、内部では乱れが非常に大きく、従って速度成分も大きくなっているものと仮定すれば、剥離バブル中では圧力が低下し、断面上下の剥離バブルの非対称性により断面上下に圧力のアンバランスが生むことになり、これは、図示したようにピッキングモーメントが発生あるという実験結果とキー一致あるものと考えられる。

4. 結論

1. Jacoma Narrows 断面において振動数が 1 以下の場合には、振動数が 1 以上の場合と異なり、挾み・自由度系としての評価は妥当とは思われず、曲げ挾み・自由度系としての評価が必要ではないかと考えられる。
2. Jacoma 落橋時にあける観測記録を見られるように曲げと挾みが異なる次数のモードが巻生することがある。落橋時の風向、風速が不明確なこともあり明確はできないが、本来、より低風速領域で発生するべき最低 1 次モードのフリッター振動現象が地形因子、曲げの渦励振動現象の存在等の影響を受け、抑えられていたものと考えられる。このよう観測報告例を考慮する限り、実橋の空力導動特性を推定するためには、曲げの渦励振動現象との関連に加えて、モード間の干渉をも考慮した二次元風洞実験を行なう必要があるものと思われる。
3. 挾みフリッター現象の発生には、前縁剥離が大きな要因を占め、乱流の集合体としての剥離バブルの非対称性が挟みフリッター振動巻生の 1 因子をなすものと考えられる。

参考文献

- 1). F. B. Farguharson; Aerodynamic Stability of Suspension Bridges Part II
- 2). 中村泰治、吉村達; 土木学会論文報告集 '74年 6月
- 3). 中村泰治; 航空宇宙技術研究所報告